

Leçon n°41 : Effet tunnel- Application

Niveau	Licence
Prérequis	Notion de fonction d'ondes Equation de Schrödinger Puits quantiques fini
Biblio	J'intègre PC/PC* BUP 699 microscope BUP 734 Radioactivité alpha Cohen Tannoudji
Plan	<ul style="list-style-type: none">I. <u>Effet tunnel</u><ul style="list-style-type: none">1. Position du problème2. Probabilité de transmission3. Approximation de la barrière épaisseII. <u>La radioactivité alpha</u><ul style="list-style-type: none">1. Résultats expérimentaux2. Modèle de GamovIII. <u>Le microscope à effet tunnel</u><ul style="list-style-type: none">1. Fonctionnement2. Résolution

Questions :

- Comment ça s'insère dans un cours de mécanique quantique ? C'est quoi le message de cette leçon ? En quoi c'est une nouveauté ?

Quantification des énergies

Puits finies pour les ondes évanescentes et voir que la proba de présence n'est pas que dans le puit.

- Pb complètement déconnecté au confinement en fait ?

Pas besoin d'utiliser la quantification des énergies.

- 20 % du courant qui passe où ? Par les atomes de la couche supérieur

- Comment fonctionne les mémoires flash ?

Transistor

PNP

Isolant

Grille

Isolant

Matériau conducteur (fil/grille)

Si on met des électrons dans la grille flottante on repousse les électrons de PNP et on bloque le transistor

Effet tunnel se situe dans la couche isolant grille isolant

Capacité de stockage ;

Dépend exponentiellement de l'intensité

Si on met pas de tension électron bloqué

Permet de localiser ou non un électron dans la grille flottante : on lit l'info grâce au courant qui passe pas ou non (si le courant passe pas c'est que la grille est occupée par l'électron) s'il passe c'est que la grille n'est pas occupée.

Exploite variation sur plusieurs ordres de grandeur du facteur de transmission en fonction de la tension.

- Part avec énergie supérieure au puit ?

Classiquement ?

Elle passe au dessus du puit

Quantiquement ?

Existence d'une réflexion à l'interface

- Pourquoi ψ et ψ' sont continues ?

Schrodinger dérivée seconde du potentiel. Pour que ψ'' existe il faut qu'il y ait un ψ' et ψ continue.

Quand on introduit une barrière de potentiel on pense montage, champ électrique constant.

Barrière de potentiel discontinu (en escalier)

Forme eq de schrodinger justifie le fait que l'on puisse approximer le potentiel morceau par morceau

Condition de continuité comme ψ et ψ'

Soit le dire comme un rappel soit la redémontrer —> à ne pas mettre sous le tapis
3/4 minutes (donner les hop de travail —> mail qu'il va nous envoyer Jerome LAMBERT)

On résout eq de Schrodinger morceau par morceau.

4 eq a 4 inconnues —> Pas de contrainte sur l'énergie

5 equations 4 inconnues. Sy surcontraint. Il faut dire que l'énergie est compatible avec une des 4 eq

- Que se passe il lorsque \hbar barre tend vers 0 par rapport à Q ?

H barre constante

- Que se passe il quand racine $(2m(V_0-E)/\hbar)$ barre tend vers + infini?

Distance caract tend vers 0 et donc très peu de transmission

- Qu'est ce que p ?

Une impulsion

Partie sur Gamov —> trop de calcul pour au final pas gd chose

Bien mettre en place les hyp

Approximation BWK : les dimensions caractéristiques de variation du potentiel sont plus grand que la longueur d'onde du système.

On découpe la barrière de potentiel en pleins de petite barrière de potentiel —> ça marche car le potentiel varie très lentement par rapport à la longueur d'onde du système.

Dépend de la différence entre l'énergie et le potentiel

Cf dessin marie

3 trucs percutants :

Existence proba de transmission

Barrière carré à une barrière quelconque

Application quotidienne : radioact, mémoire flash

Différents effets tunnels:

Atomique \rightarrow Liaison covalente

Nucléaire \rightarrow Gamov

Faire un exemple avec un bon ordre de grandeur. AN. Deux atomes séparés par une distance interatomique. Barrière de potentiel qui correspond à l'énergie de la liaison.

Pas de longueur d'onde dans le puit \rightarrow longueur caractéristique de variation.

Quand on se rapproche des intersections $e-V$ tend vers 0 dans

Approximation BWK ne marche pas

CP41 : Effet tunnel Applications

①

Niveau : Licence

PR : - jet d'onde

- Eq. Schrodinger

- Puits quantique fini

Introduction : Aspect historique, onde évanescence à la surface d'un dioptré, réflexion total frustrée. particule qui se prend une montagne elle rebondit → pas dans l'effet tunnel

I. Effet tunnel

1) Position du problème



$$V(x) = V_0 \quad -\frac{a}{2} < x < \frac{a}{2}$$

$$V(x) = 0 \quad x > \frac{a}{2} \text{ et } x < -\frac{a}{2}$$

* Mécanique classique : - impossibilité de trouver la particule dans la zone II

* Mécanique : II $P(x) = |\psi|^2 \neq 0$ Possibilité de trouver la part. ds la -

$$-\frac{\hbar^2}{2m} \psi''(x) + V(x)\psi(x) = E\psi(x) \rightarrow \psi(x, t) = \psi(x) f(t) \text{ avec } f(t) = e^{-i\frac{E}{\hbar}t}$$

$$\text{I, III} \quad \psi''(x) + k^2 \psi(x) = 0$$

$$k^2 = \frac{\sqrt{2mE}}{\hbar}$$

$$\text{II} \quad \psi'(x) - q^2 \psi(x) = 0$$

$$q^2 = \frac{\sqrt{2m(V_0 - E)}}{\hbar}$$

$$\psi_1(x) = A_1 e^{-ikx} + B_1 e^{ikx}$$

$$\psi_2(x) = A_2 e^{qx} + B_2 e^{-qx}$$

$$\psi_3(x) = A_3 e^{ikx} + B_3 e^{-ikx}$$

\Downarrow $B_3 = 0$ pas d'onde provenant de $-\infty$

Puits fini G ég. et G inconnu $\rightarrow E$ quantifié

Dans notre cas G ég et S inconnu \rightarrow Pas de quantification de l'énergie.

cf diapo

2) Probabilité de transmission

Courant de probabilité présence : $\vec{j} = \frac{\hbar}{m} |\psi|^2$ densité x vitesse

$$\vec{j}_r = \frac{-\hbar k}{m} |B_1|^2; \quad \vec{j}_i = \frac{\hbar k}{m} |A_1|^2; \quad \vec{j}_t = \frac{\hbar k}{m} |A_3|^2$$

réfléchi incident transmis

$$\frac{\vec{j}_r}{\vec{j}_i} = \frac{|B_1|^2}{|A_1|^2} = R; \quad \frac{\vec{j}_t}{\vec{j}_i} = \frac{|A_3|^2}{|A_1|^2} = T$$

$$R = \frac{\frac{v_0^2}{4E(v_0 - E)} \sinh^2(qa)}{1 + \frac{v_0^2}{4E(v_0 - E)} \sinh^2(qa)}$$

$$T = \frac{1}{1 + \frac{v_0^2}{4E(v_0 - E)} \sinh^2(qa)}$$

Remarques : - $T \neq 0$
- $R + T = 1$

Rmq : analogie avec physique ondulatoire $R+T=1 \rightarrow$ conservation de l'énergie
Dans notre cas : conservation de la probabilité de présence de la particule.

Physique ondulatoire \rightarrow conservation de l'énergie

Dans notre cas \rightarrow conservation de la probabilité de présence



$$P_s(x) = |A_s|^2$$

Zone I : Interférence onde incidente onde réfléchi avec longueur entre diff maxima lié à la longueur d'onde de Broglie

Zone II : décroissance exponentielle sur une distance caractéristique

Zone III : probabilité de présence de la particule constante.

$$P(x,t) = |\psi|^2$$

II décroissance sur $\delta = \frac{1}{q} = \frac{h}{\sqrt{2m(V-E)}}$

3) Approximation de la barrière épaisse

Calcul de T : Exponentielle très grande devant 1 donc on le néglige.

$$T = \frac{1}{1 + \frac{v_0^2}{4E(v_0 - E)} \sinh^2\left(\frac{a}{\delta}\right)}$$

$$\text{si } a \gg \delta \rightarrow \sinh^2\left(\frac{a}{\delta}\right) = \frac{e^{\frac{a}{\delta}} - e^{-\frac{a}{\delta}}}{2}$$

$$\Rightarrow T = \frac{1}{1 + \frac{v_0^2}{4E(v_0 - E)} \left(\frac{e^{\frac{a}{\delta}}}{2}\right)^2}$$

$$\Rightarrow T = \frac{16E(v_0 - E)}{v_0^2} e^{-\frac{2a}{\delta}}$$

Si $m = 1 \text{ kg}$; $E = mgz_0$ avec $z_0 = 1 \text{ m}$; $v = mgh$ avec $h = 2 \text{ m}$ et $a = 10 \text{ cm}$

$$\delta = \frac{h}{\sqrt{2m(V-E)}} = 10^{-34} \text{ m} \quad \text{donc } T = \frac{16mgz_0(mg(h-z_0))}{m^2g^2h^2} e^{-\frac{2a}{\delta}} = 10^{-35}$$

Approximation barrière épaisse fonctionne ? Distance caractéristique plus faible que la largeur de notre puit a . Donc barrière épaisse ok

Particule macroscopique a quasi aucune chance de traverser un puit (d'où le fait que l'on ne voit pas de balle traverser un mur).

Remarques : - Petite amplitude de la barrière de potentiel
- Petite largeur de la barrière
- Petite masse.

Pour avoir de fortes probabilités il faut ;

II. La radioactivité α

1) Résultats expérimentaux



Noyau avec bcp de proton répulsion électrostatique de l'ordre de l'interaction forte
Pour diminuer la répulsion le noyau éjecte une particule alpha.

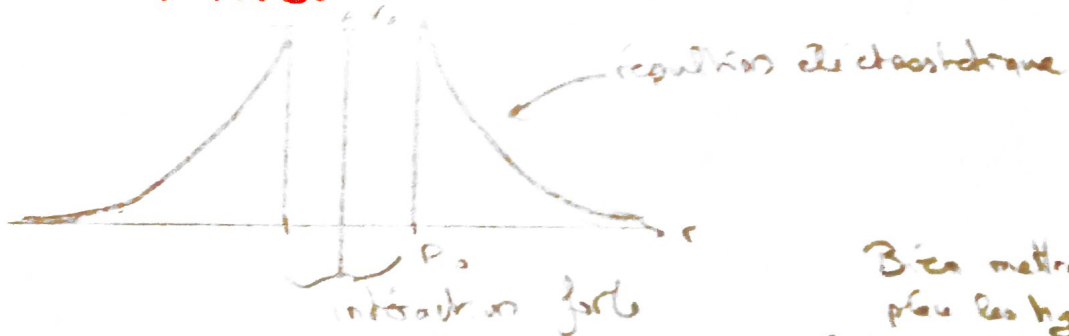
$$\Rightarrow \ln t_{1/2} = A + \frac{B}{\sqrt{E}}$$

Tableau II 1 et graphe

Relation entre le temps de demi vie et l'énergie cinétique des particules.

2) Modèle de Gamov

$v_0 \approx 30 \text{ MeV}$



Bien mettre en place les hgs

Découpe la barrière de potentiel en pleins de ptt petites où on peut calculer

Particule $\alpha(m, v)$ $f = \frac{v}{R_0}$

Relation Heisenberg : $m \Delta v \Delta x = \hbar$ $\Delta x \approx R_0$ et $\sigma = \Delta v = \frac{\hbar}{m R_0}$

$$f = \frac{\hbar}{m R_0^2}$$

Fréquence de désintégration : $\lambda = f \times T = \frac{\hbar}{m R_0^2} \times \frac{16 E (V_0) - E}{\hbar} e^{-\frac{2 \sqrt{2m(V_0-E)}}{\hbar} R_0}$

$$= \frac{\hbar}{m R_0^2} \times \frac{16 E (V(r) - E)}{V_0^2} \exp \left(\int_{R_0}^R -2 \frac{\sqrt{2m(V(r) - E)}}{\hbar} dr \right)$$

$$\Rightarrow \ln \lambda = \ln \left(\frac{\hbar}{m R_0^2} \right) + \ln \left(\frac{16 E (V(r) - E)}{V_0^2} \right) - \frac{2 \sqrt{2}}{\hbar} \int_{R_0}^R \sqrt{V(r) - E} dr$$

$$I = \sqrt{E'} \int_{R_0}^R \sqrt{\frac{R}{r} - 1} dr = R \sqrt{E'} \left(\frac{\pi}{2} - 2 \sqrt{\frac{R_0}{R}} \right) \quad \text{cf BUP 734}$$

$$E = V(r) \Rightarrow R = \frac{2(Z-2)e^2}{E}$$

$$\ln \lambda = \ln \left(\frac{\hbar}{m R_0^2} \right) - \frac{2\pi(Z-2)e^2 \sqrt{2m}}{\hbar \sqrt{E'}} + \frac{8e}{\hbar} \sqrt{Rm(Z-2)}$$

$$t_{1/2} = \frac{\ln(2)}{\lambda} = -\ln(\lambda) + \ln(\ln 2) \Rightarrow \ln t_{1/2} = A + \frac{B}{\sqrt{E}}$$

1929 Gamov va introduire un autre type de radioactivité alpha.

Particule alpha va avoir une interaction forte avec les particules du noyau quand elle sera dans le noyau
Et en dehors ; répulsion électrostatique.

Hauteur de la barrière de potentiel pour un noyau 30 MeV

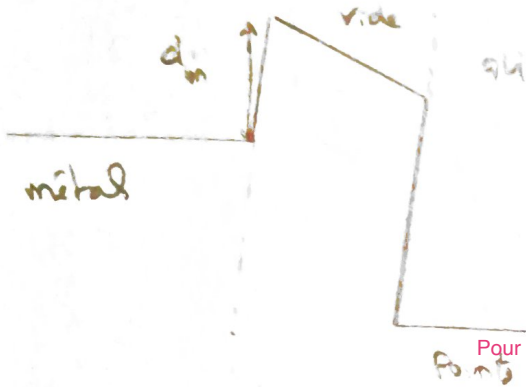
Ec a laquelle sortent les particules alphas sont bcp moins élevés que cette énergie
Ils donc ça fait penser à un effet tunnel.
Particule alpha se balade à la vitesse v
Elle tape la barrière avec une certaine fréquence f

Fréquence de désintégration

III. Application : le microscope à effet tunnel

Multitude de petite barrière et on intègre sur toute la barrière.

1) Fonctionnement



$$\Phi_m \approx 4 \text{ eV}$$

$$S \approx 10 \text{ Å}^2$$

$$I = I_0 e^{-\frac{2d}{\lambda}} \text{ avec } I_0 \propto U.$$

microscope à effet tunnel photo

electron passe du substrat à la pointe et donne un courant

Matériau conducteur (métal ou semi conducteur)

Il faut une énergie que l'on doit apporter au métal pour arracher un électron

Pour avoir accès à un courant il faut approcher la pointe à moins de dix angströms

Quartz piezoelectrique qui permettent de bouger la pointe avec une très gde précision afin de ne pas trop faire varier le courant

Matériaux durs pas sensible au vibration pour éviter les fluctuations de courant

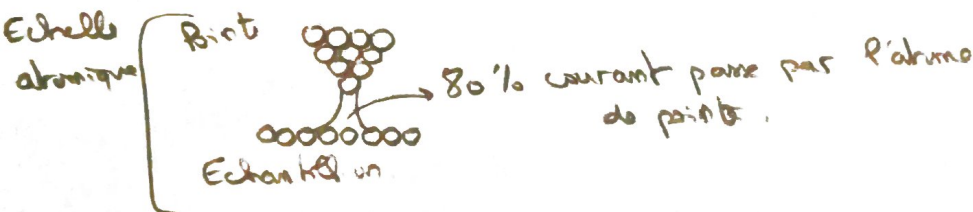
2) Résolution

Pour avoir une bonne résolution :

- bouger la pointe à 10^{-11} m près
- Réduire les vibrations
- Pointe très fine

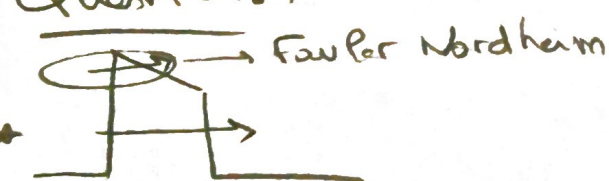
Résolution en largeur de 2 Å

Résolution en hauteur de $0,05 \text{ Å}$.



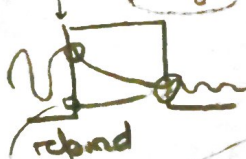
Conclusion ; On ne trouve pas l'effet tunnel que dans des instruments complexes comme le microscope à effet tunnel ou la radioactivité alpha, elle est aussi à l'origine de la mémoire flash de nos clés usb et de nos disques durs. Ouvrir sur la liaison chimique ou la liaison cristalline.

Questions :



approx $\frac{2^2 |\psi(x)|}{2x^2} \ll \frac{|\psi(x)|}{x^2} \Rightarrow$ à très pt devant distance caractéristiques d'échelle de $|\psi|$

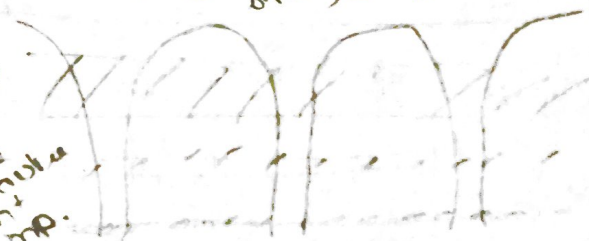
Brillouin
Kramers
Wentzel.



on peut par régularité de la probabilité à distance de de V on a 2e terme de sinus hyperbolique

Josephson Junction

de + on
+ lauge
car pater p
particule jointe
d'ici finit
de + on
imp.



Effet tunnel. Applications

I) L'effet tunnel

- 1) Position du problème
- 2) Probabilité de transmission
- 3) Approximation de la barrière épaisse

II) La radioactivité alpha

- 1) Résultats expérimentaux
- 2) Modèle de Gamov

III) Le microscope à effet tunnel

- 1) Fonctionnement
- 2) Résolution

I).1) Position du problème

$$A_1 \exp\left(-i\frac{ka}{2}\right) + B_1 \exp\left(i\frac{ka}{2}\right) = A_2 \operatorname{ch}\left(\frac{qa}{2}\right) - B_2 \operatorname{sh}\left(\frac{qa}{2}\right),$$

$$A_3 \exp\left(i\frac{ka}{2}\right) = A_2 \operatorname{ch}\left(\frac{qa}{2}\right) + B_2 \operatorname{sh}\left(\frac{qa}{2}\right),$$

$$ikA_1 \exp\left(-i\frac{ka}{2}\right) - ikB_1 \exp\left(i\frac{ka}{2}\right) = -qA_2 \operatorname{sh}\left(\frac{qa}{2}\right) + qB_2 \operatorname{ch}\left(\frac{qa}{2}\right),$$

$$ikA_3 \exp\left(i\frac{ka}{2}\right) = qA_2 \operatorname{sh}\left(\frac{qa}{2}\right) + qB_2 \operatorname{ch}\left(\frac{qa}{2}\right).$$

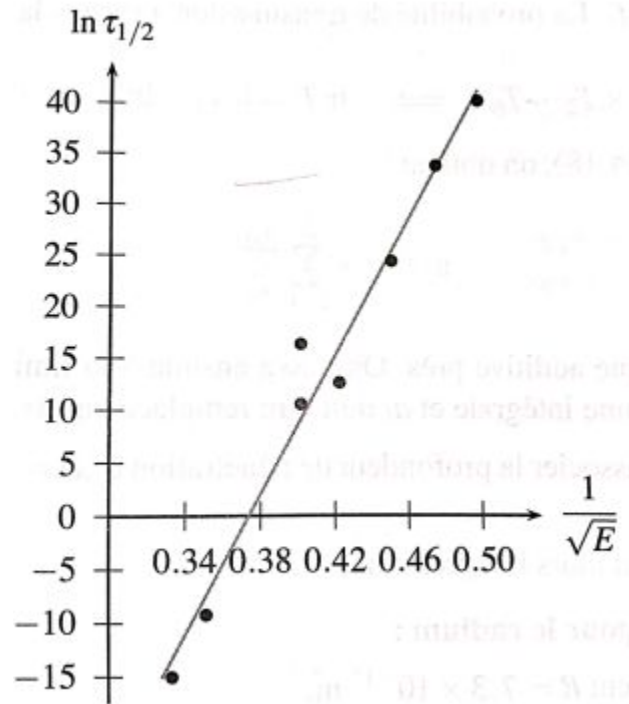
I).3) Approximation de la barrière épaisse

Particule	m (kg)	V_0 (eV)	a (nm)	δ (nm)	T
Électron	10^{-30}	4	0,3	0,1	10^{-2}
Électron	10^{-30}	40	0,3	4×10^{-2}	10^{-6}
Électron	10^{-30}	4	3	0,1	10^{-20}
Proton	10^{-27}	4	0,3	4×10^{-3}	10^{-63}
Proton	10^{-27}	4	3	2×10^{-3}	10^{-628}

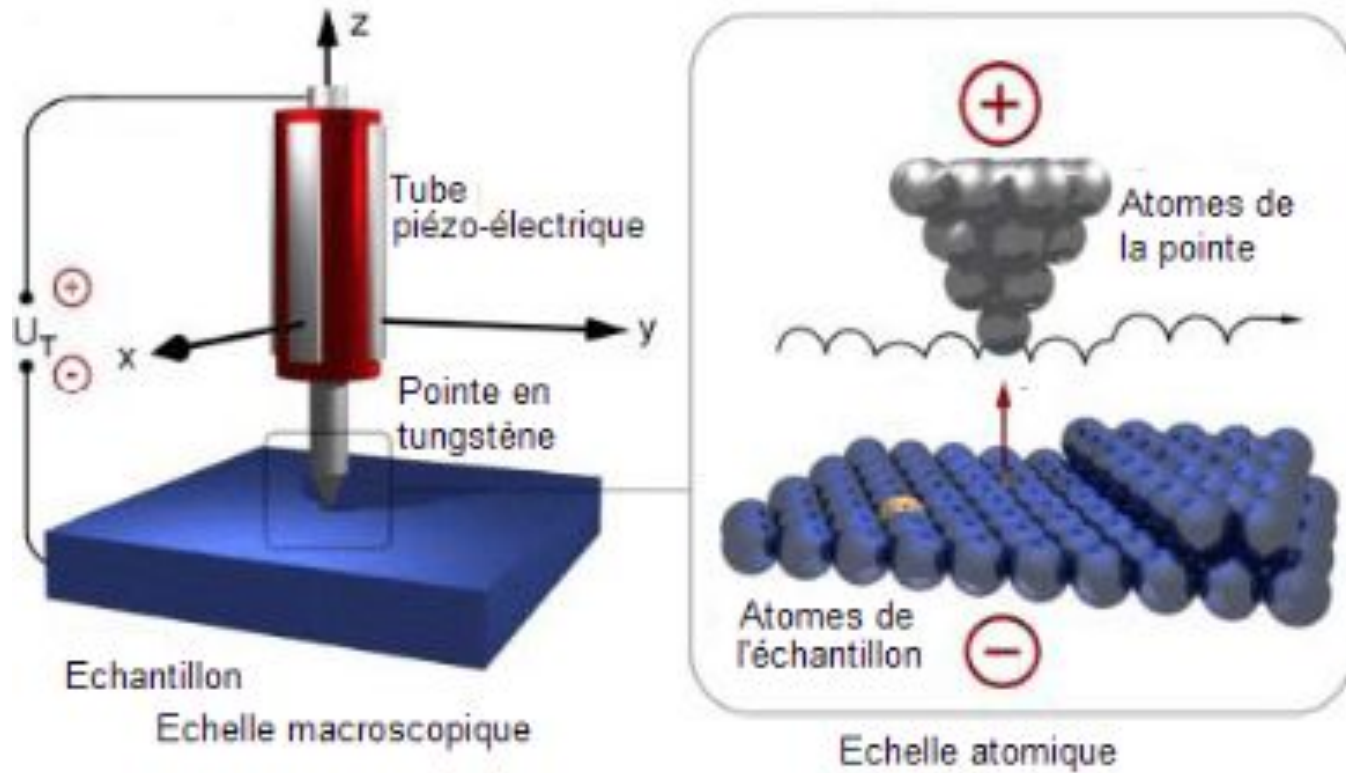
II).1) Résultats expérimentaux

Noyau	Demi-vie $\tau_{1/2}$ (s)	E (MeV)	Noyau	Demi-vie $\tau_{1/2}$ (s)	E (MeV)
$^{212}_{83}\text{Bi}$	$4,0 \times 10^4$	6,2	$^{226}_{88}\text{Ra}$	$5,4 \times 10^{10}$	4,9
$^{212}_{84}\text{Po}$	$3,0 \times 10^{-7}$	9,0	$^{232}_{90}\text{Th}$	$4,4 \times 10^{17}$	4,0
$^{215}_{85}\text{At}$	$1,0 \times 10^{-4}$	8,1	$^{236}_{92}\text{U}$	$7,2 \times 10^{14}$	4,4
$^{222}_{86}\text{Ra}$	$3,3 \times 10^5$	5,6	$^{242}_{96}\text{Cm}$	$1,4 \times 10^7$	6,2

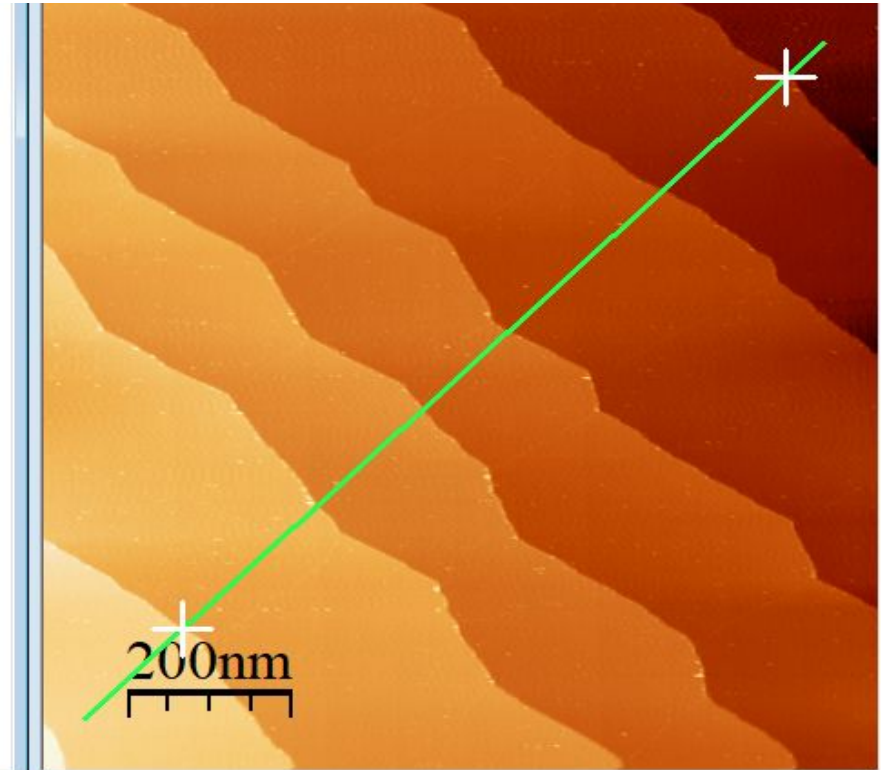
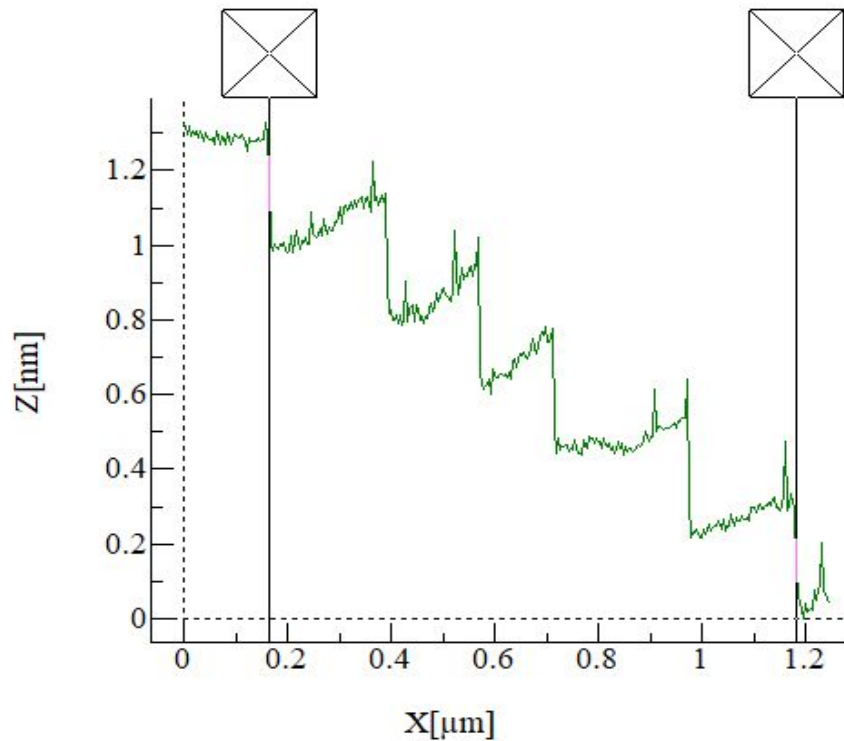
II).1) Résultats expérimentaux



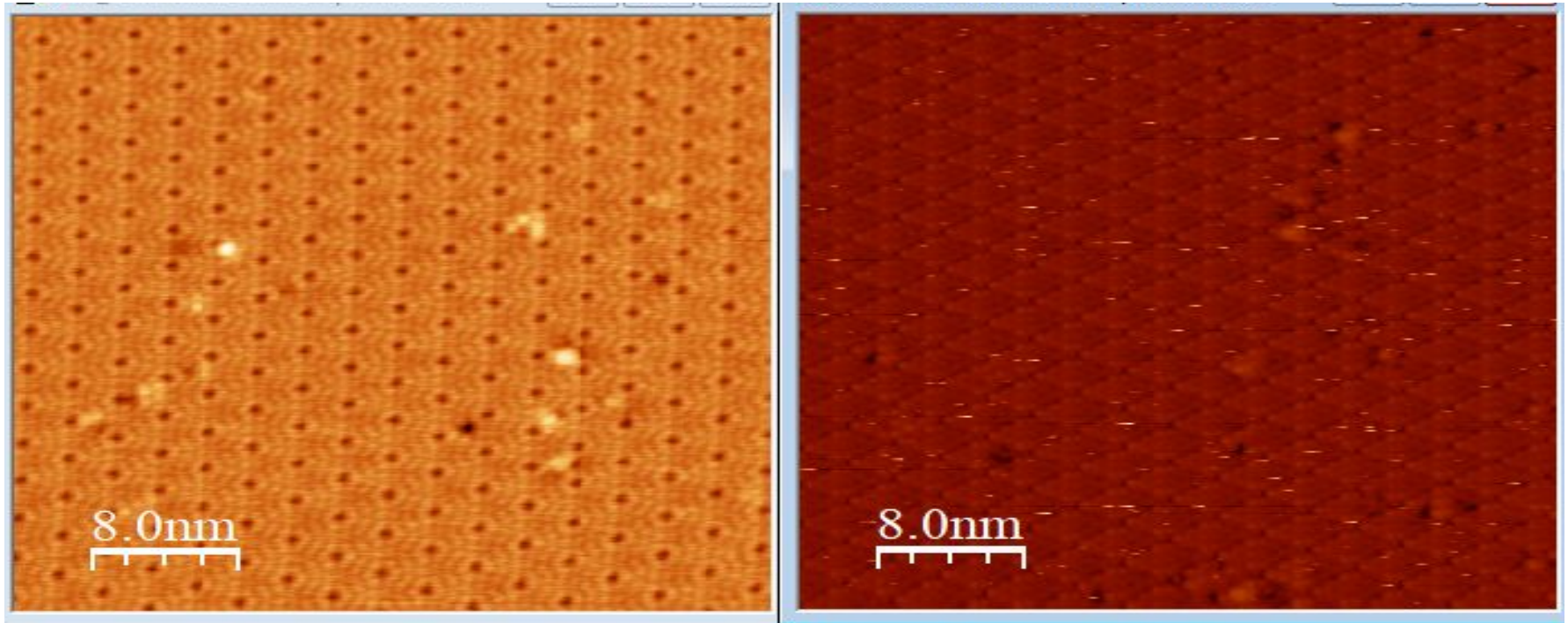
III).1) Fonctionnement



III).2)Résolution



III).2)Résolution



Représentation de la surface du silicium découpé selon le plan (111)

LP 41 Effet tunnel. Applications

Niveau: licence

Pré requis:

- Notion de fonction d'onde
- Equation de schrodinger

Plan

Introduction

Aspect historique, onde évanescence à la surface d'un dioptre, réflexion total frustrée.

I) L'Effet Tunnel

1) Position du problème

Poser la barrière carré, l'équation de schrodinger dans les trois zones, solutions des équations, relation de continuité [1]. Expliquer la continuité de la fonction d'onde (H1 [2]). L'énergie n'est pas quantifiée car pas de confinement de la particule.

Si l'énergie de la particule $E < V$ potentiel impossibilité de traverser la barrière en classique. En quantique l'onde évanescence permet d'avoir une probabilité non nul de passer la barrière.

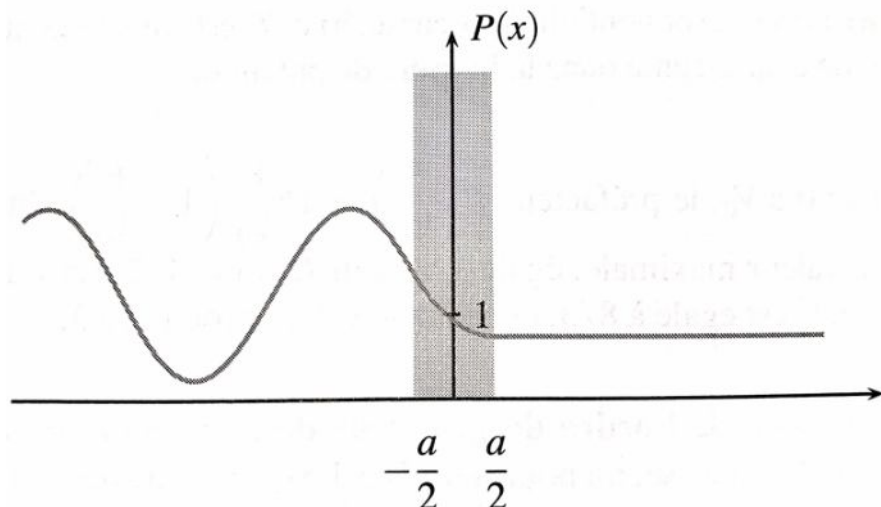
2) Probabilité de transmission

Définition des coefficients de transmission et de réflexion

Remarques:

- la probabilité de transmission n'est jamais nul.
- $R+T=1$ conservation de la probabilité de présence
analogie avec l'électromagnétisme -> conservation de l'énergie

Représentation de la fonction d'onde



Zone I: phénomène d'interférence spatiale dû à la superposition de l'onde incidente et de l'onde réfléchi. Distance séparant deux maximums = $\lambda \delta / 2$

Zone II: Décroissance exponentiel sur une distance caractéristique de $\delta = 1/q$

$$\delta = \frac{\hbar}{\sqrt{2m(V-E)}}$$

Zone III: Probabilité de présence uniforme

3) Approximation de la barrière épaisse

Faire l'approximation proprement [1], puis donner des ordres de grandeur. Ex: électrons forte probabilité de transmission. Particules classiques petite probabilité de transmission.

Remarques: Pour avoir une forte probabilité il faut:

- une faible amplitude de la barrière de potentiel
- une faible largeur de la barrière de potentiel
- une particule de petite masse

II) La radioactivité alpha [3]

1) Résultats expérimentaux

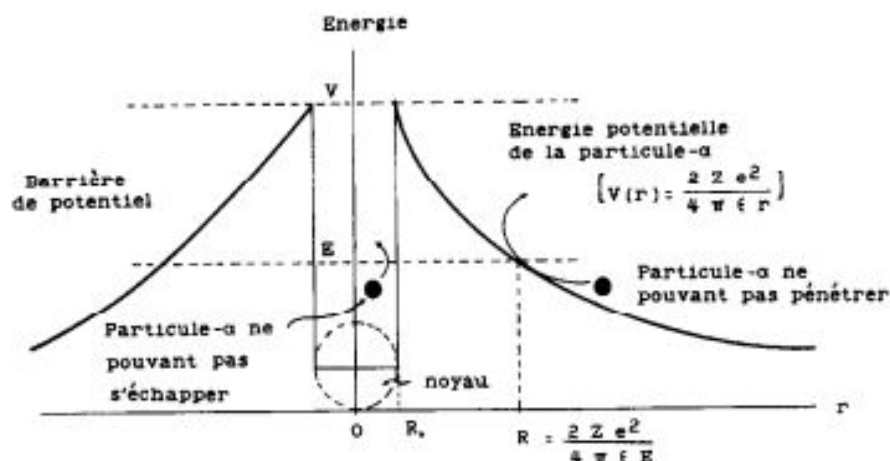
Expliquer la radioactivité alpha (noyau lourd se désintégrant pour réduire la répulsion électrostatique), rappeler l'équation de désintégration.

En 1911 Geiger et Nuttall en mesurant l'énergie cinétique d'expulsion des particules alpha trouvent une relation entre le temps de demi vie de désintégration et l'énergie cinétique des particules.

$$\ln \tau_{1/2} = A + B/\sqrt{E}$$

2) Modèle de Gamov

En 1928 Gamov donne une explication quantique à la radioactivité alpha. Il approxime le noyau par un potentiel de la forme



A l'intérieur du noyau de rayon R_0 la particule alpha qui est très stable va subir l'interaction forte des protons et des neutrons autour d'elle. Mais dès qu'elle sort du noyau, la particule chargée positivement va subir la répulsion électrostatique des $Z-2$ protons.

L'ordre de grandeur de l'amplitude de la barrière de potentiel du noyau est de 40 MeV. Mais les particules sortent du noyau avec des énergies de 4 à 9 eV. Gamov pense immédiatement à l'effet tunnel.

Faire la démonstration dans les grandes lignes, parler de l'approximation BWK (possibilité de discrétiser la barrière de potentiel comme une succession de barrière de largeur dr et de hauteur $V(r)$, si le potentiel diminue lentement sur une distance de l'ordre de la longueur d'onde)

Montrer que l'on retrouve la relation entre le temps de demi vie et l'énergie de la particule.

III) Le microscope à effet tunnel [4]

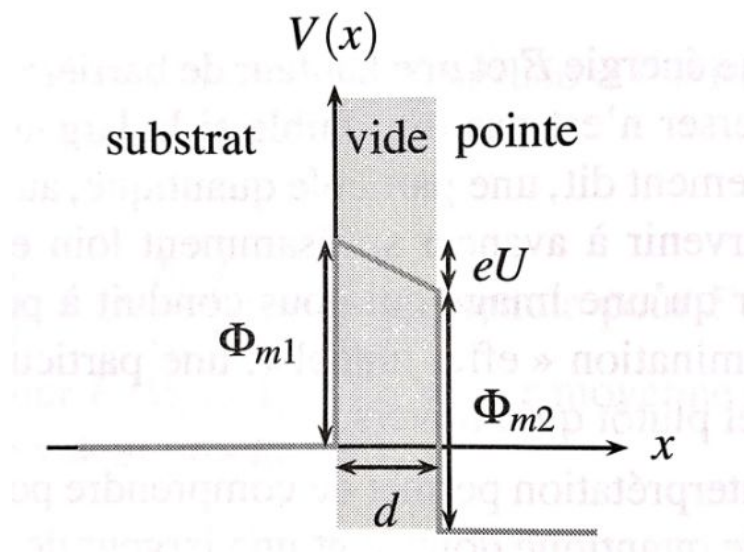
1) Fonctionnement

Schéma du microscope sur le diaporama

Une différence de potentiel est appliquée entre la pointe et le substrat, un courant apparaît lorsque la pointe est assez proche du matériau. De ce courant, il est possible de mesurer des distances.

Le matériau étudié doit donc être conducteur et l'expérience doit se faire sous vide.

Potentiel entre la pointe et le substrat



Φ_m est de l'ordre de 4 eV \rightarrow distance caractéristique δ de l'ordre de 10 Å

Nécessité d'approcher la pointe à moins de $d=10\text{Å}$ pour obtenir un courant.

Ce courant est proportionnel à la probabilité de transmission.

$$I = I_0 * \exp(-2d/\delta)$$

2)Résolution

Pour avoir une résolution permettant d'étudier les atomes un par un il faut:

- une pointe très fine (méthode chimique pour avoir un seul atome en bout de pointe)
- être capable de contrôler des déplacements de la pointe à 0.1\AA près (trois quartz piézoélectriques)
- éliminer les vibrations (matériaux très rigides entre la pointe et le substrat, tout ça monté sur ressort)

80% des électrons passe par l'atome en bout de pointe, ce qui donne une résolution latéral de 2\AA .

La résolution vertical est elle limitée par la stabilité mécanique, elle est estimé au mieux 0.05\AA

En Fixant la tension et le courant constant en maintenant la pointe à une distance d de la surface, il est possible d'obtenir la topographie de la surface du matériau.

Conclusion

On ne trouve pas l'effet tunnel que dans des instruments complexes comme le microscope a effet tunnel ou la radioactivité alpha, elle est aussi à l'origine de la mémoire flash de nos clés usb et de nos disques durs. Ouvrir sur la liaison chimique ou la liaison cristalline.

Bibliographie

[1] J'intègre PC/PC*

[2] Mécanique quantique, tome I, C. Cohen-Tannoudji

[3] Effet tunnel : quelques applications, BUP 734, mai 1991, C. Matta

[4] Le microscope à effet tunnel, BUP 699, décembre 1987, B. Leroy